

## بررسی اثر ۶-شگول بر بیان ژن‌های *Insig1* و *FASN* در رده‌ی سلولی سرطان خون



### لفنوبلاستی حاد Nalm-6

سمیه نجفی درچه و سهیلا رهگذر\*

ایران، اصفهان، دانشگاه اصفهان، دانشکده علوم و فناوری‌های زیستی، گروه زیست‌شناسی سلولی مولکولی و میکروبیولوژی

تاریخ پذیرش: ۱۴۰۱/۰۱/۱۴ تاریخ دریافت: ۱۴۰۰/۰۶/۰۷

### چکیده

سرطان خون لفونوبلاستی حاد (ALL: Acute lymphoblastic leukemia) شایع‌ترین سرطان در میان کودکان است. تیم تحقیقاتی ما با بررسی اثر سیتوکسیک عصاره زنجیبل (Zingiber officinale Rosc.) بر سلول‌های ALL نشان داد، زنجیبل دارای اثر ضدسرطانی قوی در این سلول‌ها می‌باشد. ۶-شگول به عنوان یکی از مشتقان فعال زنجیبل با اثر بر میزان بیان ژن‌های دخیل در چرخه سلولی و آپوپتوز سبب ممانعت از رشد و تکثیر سلول‌های سرطانی می‌شود. هدف از این مطالعه بررسی اثر ۶-شگول بر میزان بیان *FASN* (Fatty acid synthase) و *Insig1* (Insulin induced gene 1) در سلول‌های سرطانی Nalm-6 است. ALL، بمنظور یافتن مسیرهای مولکولی مرتبط با این مشتق دارویی می‌باشد. در این مطالعه رده‌های سلولی Nalm-6، RN95 و CCRF-CEM با غلاظت‌های افزایشی ۶-شگول تیمار شدند. درصد زنده‌مانی با روش MTT و میزان مرگ سلولی با روش رنگ آمیزی تریپان بلو ارزیابی شدند. اثر ۶-شگول بر میزان بیان ژن‌های *FASN* و *Insig1* با استفاده از تکنیک real-time PCR مورد بررسی قرار گرفت. جهت تجزیه و تحلیل داده‌ها از نرم‌افزار Graph Pad Prism 6 استفاده شد. نتایج این پژوهش نشان داد ۶-شگول به طور معنی‌داری سبب کاهش درصد زنده‌مانی رده‌های سلولی Nalm-6، RN95 و CCRF-CEM می‌شود. این اثر مهاری در رده‌های سلولی Nalm-6 و R-CCRF-CEM نسبت به رده سلولی CCRF-CEM بیشتر بود. اضافه بر این، ۶-شگول به طور معنی‌داری سبب کاهش بیان ژن *FASN* می‌شود درحالی‌که اثر معنی‌داری بر میزان بیان نسبی ژن *Insig1* نشان نداد، بنابراین ممکن است این مشتق دارویی اثر ضدسرطانی خود را با تأثیر بر سایر مسیرهای مولکولی القا کند.

**واژه‌های کلیدی:** سرطان خون لفونوبلاستی حاد، عصاره زنجیبل (Zingiber officinale Rosc.), ۶-شگول، ژن *FASN*, ژن *Insig1*

\* نویسنده مسئول، تلفن: ۰۳۱۳۷۹۳۲۴۵۷، پست الکترونیکی: rahgozar@sci.ui.ac.ir

### مقدمه

کاهش تعداد سلول‌های خونی و پلاکت‌ها، تهوع، استفراغ، اسهال، ریزش مو و مهار سیستم ایمنی می‌شود (۱۳). گیاهان دارویی به صورت منفرد و یا در ترکیب با داروهای شیمی درمانی سبب افزایش اثرات ضدسرطانی این داروها و کاهش عوارض جانبی ناشی از استفاده از این داروها می‌شوند. گیاهان دارویی با اثر بر مسیرهای مولکولی متفاوت، به طور همزمان بر فازهای مختلف بیماری تأثیر می‌گذارند (۲۰). علاوه بر خاصیت ضد

سرطان خون لفونوبلاستی حاد (leukemia) شایع‌ترین بدخیمی در بین کودکان بوده که از سلول‌های پیش‌ساز رده لفوسیتی B یا T نشأت گرفته و با درنظر گرفتن خصوصیات مورفولوژیک و ایمونوفنوتایپی به دو نوع اصلی B-ALL و T-ALL تقسیم می‌شود (۱۶). استفاده از داروهای شیمی درمانی به عنوان روش معمول درمان سرطان، سبب بروز عوارض جانبی بسیاری مانند

های سرطانی افزایش بیان یافته و سبب رشد و تکثیر بیشتر و مهار آپوپتوز در این سلول‌ها می‌شود. براساس مطالعات قبلی تیم تحقیقاتی ما ژن *FASN* در سلول‌های سرطانی افزایش بیان یافته و تیمار با عصاره زنجیبل سبب کاهش بیان این آنزیم در سلول‌های ALL می‌شود (۱۰).

در این پژوهش پس از بررسی اثر سیتوکسیک ۶-شگول بر رده‌های سلولی ALL و انتخاب حساس‌ترین رده سلولی، بنظرور یافتن مکانیسم مولکولی مرتبط با این مشتق دارویی، اثر ۶-شگول بر میزان بیان ژن‌های *FASN* و *Insig1* مورد بررسی قرار گرفت.

### مواد و روشها

رده‌های سلولی: رده‌های سلولی CCRF-CEM (از نوع T-ALL) و Nalm-6 (از نوع B-ALL) از بانک سلولی انستیتو پاستور ایران خریداری شدند. رده‌های سلولی R-CCRF-T-ALL مقاوم به داروی شیمی درمانی متورکسات (RN95) (رده سلولی B-ALL مقاوم به داروی شیمی درمانی سایتارابین) توسط تیم تحقیقاتی ما در دانشگاه اصفهان تولید شدند. شماره ثبت اختراع این رده‌ها، در سازمان ثبت استناد و املاک کشور به ترتیب ۹۸۸۲۴ و ۱۰۰۲۸۱ می‌باشد.

سلول‌ها در محیط کشت کامل RPMI1640، حاوی ۱۰ درصد FBS (Fetal bovine serum) و ۱ درصد آنتی بیوتیک پنی سیلین - استرپتومایسین کشت داده شدند. محیط کشت کامل برای رده سلولی Nalm-6 حاوی ۱ درصد ال گلوتامین و برای R-CCRF-CEM حاوی ۱/۲ میکرومولار متورکسات نیز بود.

**تیمار رده‌های سلولی با غلظت‌های مختلف ۶-شگول:**  
تعداد  $10^4 \times 2$  سلول در هر چاهک از پلیت ۹۶ خانه در ۱۰۰ میکرولیتر محیط کشت حاوی FBS کشت داده شدند. بنظرور بررسی اثر سیتوکسیک ۶-شگول، سلول‌ها با Adooq, Irvine, ۶-شگول (

سرطانی، گیاهان دارویی دارای خواص ضد التهابی (۱۱) و آنتی اکسیدانی (۲۲) نیز می‌باشد.

زنجبیل یکی از گیاهان دارویی است که در درمان بیماری‌های بسیاری از جمله، سرطان، بیماری‌های قلبی-عروقی، دیابت و رفع حالت تهوع و استفراغ مورد استفاده قرار می‌گیرد (۷ و ۱۴ و ۱۹ و ۲۶). مطالعات نشان می‌دهند زنجیبل و مشتقات آن دارای اثر ضد سرطانی در سرطان‌های کلون، پوست، کبد، تخمدان، معده و سینه می‌باشد (۷). مطالعات پیشین تیم تحقیقاتی ما نشان داد عصاره زنجیبل دارای اثر سیتوکسیک بر رده‌های سلولی ALL و سلول‌های بدخیم کودکان مبتلا به ALL است (۵). علاوه بر این بررسی اثر ۱۰-جینجرول، از دیگر مشتقات فعال زنجیبل، بر رده‌های سلولی ALL نشان داد این مشتق دارویی با کاهش درصد زنده مانی و القای آپوپتوز سبب اثرات سیتوکسیک می‌شود (۳).

مطالعات نشان می‌دهند در میان انواع مشتقات شگول، از ترکیبات فعال زنجیبل، ۶-شگول، دارای اثر ضد سرطانی قوی تری در انواع سرطان‌هاست (۱۵ و ۲۳). ۶-شگول با اثر بر مسیرهای مولکولی متفاوتی همچون NFκB، PI3K، MAPK، JAK/STAT و PPAR $\gamma$  سبب مهار رشد و تکثیر سلول‌های سرطانی می‌شود (۱۸ و ۲۴ و ۲۵). ۶-شگول به عنوان لیگاند سبب فعال شدن PPAR $\gamma$  و درنتیجه افزایش بیان ژن‌های تحت تنظیم این فاکتور رونویسی از جمله ژن *Insig1* (*Insulin induced gene 1*) می‌شود (۲۴). SREBP activating protein (SREBP) با اتصال به پروتئین SCAP (protein SREBP-1c) سبب مهار پردازش و در نتیجه ممانعت از فعالیت Fakttor RON (Sterol regulatory element-binding protein-1c) می‌شود (۹). از آن جایی که SREBP-1c یکی از فاکتورهای رونویسی ژن فتی اسید سیستاز (FASN, Fatty acid synthase) است، با افزایش بیان *Insig1* میزان بیان ژن FASN کاهش می‌یابد. فتی اسید سیستاز (FASN)، یک آنزیم کلیدی در تولید پالمیتات، در سلول

پیت کرده و پس از ۱ الی ۲ دقیقه، ۱۰ میکرولیتر از مخلوط بر روی لام نوبار شمارش شدند. به دلیل خاصیت نفوذپذیری انتخابی غشای پلاسمایی سلول و از آن جایی که تریپان بلو دارای بار منفی است، این رنگ نمی‌تواند از غشای سلول های سالم عبور نمی‌کند، در حالی که در سلول های مرده، رنگ به راحتی وارد سلول می‌شود. بنابراین در این روش سلول های سالم در زیر میکروسکوپ، بدون رنگ و سلول های مرده آبی رنگ می‌باشند. پس از شمارش سلول های زنده و کل سلول ها (زنده و مرده)، درصد زنده مانی تعیین شد.

بررسی اثر ۶-شگول بر میزان بیان ژن با روش real-time PCR: استخراج RNA کل، حذف DNA ژنومی و ساخت cDNA بر ترتیب با استفاده از محلول ترایزول (Invitrogen, CA) و کیت تاکارا (Shiga, Japan)، مطابق با دستورالعمل های شرکت سازنده، انجام شدند. بیان ژن با استفاده از کیت سایبر گرین (Ampliqon RealQ Plus Master Mix Green high ROX™، Copenhagen, Denmark) مورد بررسی قرار گرفت. هر آزمایش ۲ بار انجام شد و در هر آزمایش نمونه ها به صورت ۳ بار تکرار بودند. توالی پرایمرهای مورد استفاده در جدول ۱ قابل مشاهده است.

(CA) تیمار شدند. سلول های گروه کنترل با DMSO ۰/۴ درصد (به عنوان حلال ۶-شگول) تیمار شدند. پلیت ها متناسب با زمان دو برابر شدن رده های سلولی در انکوباتور ۳۷ درجه سانتی گراد و ۵ CO<sub>2</sub> درصد قرار داده شد و سپس درصد زنده مانی سلول ها با روش MTT سنجیده شد. آزمایش ها ۳ بار انجام شدند و نمونه ها در هر آزمایش به صورت ۳ بار تکرار تیمار شدند.

**سنجش میزان زنده مانی با روش MTT:** بمنظور تعیین میزان زنده مانی سلول ها از روش Atocel; Graz, (MTT) Austria استفاده می‌شود. در این روش پس از پایان زمان انکوباسیون، ۱۰ میکرولیتر از محلول MTT (۵ میلی گرم در میلی لیتر) به هر چاهک از پلیت ۹۶ خانه اضافه شده و پلیت کشت سلولی به مدت ۳ ساعت در انکوباتور ۳۷ درجه سانتی گراد قرار داده شد. سپس محلول رویی حذف شده و با افزودن ۱۰۰ میکرولیتر DMSO، بلورهای به وجود آمده در کف هر چاهک حل شدند. جذب نوری هر چاهک با استفاده از یک دستگاه پلیت ریدر و در طول موج ۴۹۲ نانومتر خوانده شد.

بررسی درصد مرگ سلولی با تریپان بلو: پس از تیمار سلول ها با مشتق دارویی ۶-شگول، حجم برابری از تریپان بلو (Sigma, Munich, Germany) و سوسپانسیون سلولی را

جدول ۱- خصوصیات آغازگرهای مورد استفاده برای ژن های مورد نظر

	رن	F: AATGTCACTCTTCCCCGA GGAGG R: ACAGGGGTACAGTAGGCCA ACAACAG F: CCGCTTCCGAGATTCCATCC TACGC	طول آغازگر (جفت باز)	طول محصول (جفت باز)	دماهی ذوب	درصد GC
<i>Insig1</i>		۲۵	۱۱۱	۶۵/۳۶	۵۶	
		۲۶		۶۶/۲۴	۵۳/۸۵	
<i>FASN</i>		۲۵	۱۳۷	۶۷/۱۳	۶۰	
		۲۴		۶۶/۱۹	۵۸/۳	
<i>GAPDH</i>		۲۶	۱۰۶	۶۸/۶۴	۵۷/۶۹	
		۲۶		۶۶/۳۸	۵۳/۸۵	

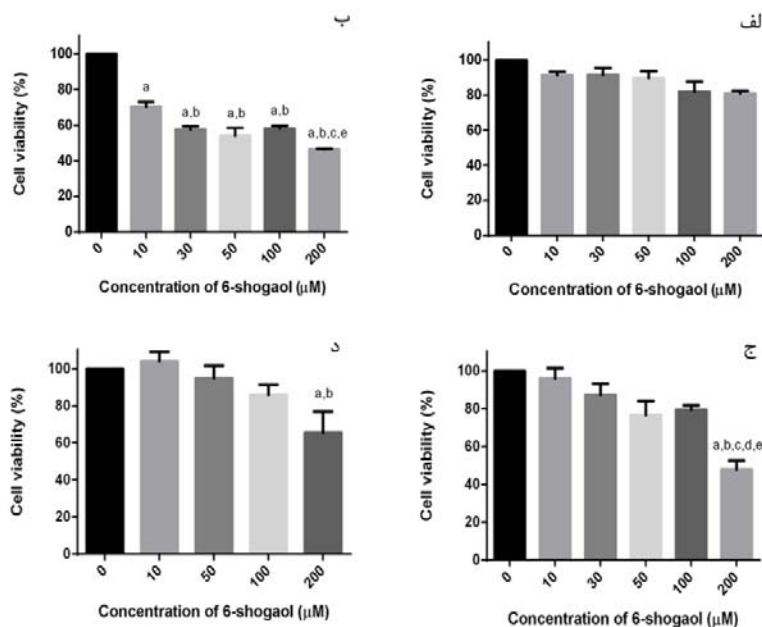
## نتایج

### بررسی اثر ۶-شگول بر رده های سلولی ALL

پس از تیمار رده های سلولی R-CCRF-CEM, CCRF-CEM, RN95 و Nalm-6 با غلظت های افزایشی ۶-شگول، Nalm-6 درصد زنده مانی سلول ها با روش آزمون MTT محاسبه شد. نتایج حاکی از اثر سیتوکسیک مشتق دارویی ۶-شگول در غلظت های بالا بر رده های سلولی R-CCRF-CEM, CCRF-CEM و RN95 Nalm-6 بود. از آن جایی که ایمنوفوتایپ B-ALL، با نرخ ۸۵ درصد از کل ALL ها در میان کودکان، شایع تر است (۱۶) و رده سلولی Nalm-6 در غلظت های بالای ۶-شگول بیشترین حساسیت را نشان داد، این رده برای ادامه پژوهش انتخاب شد. علاوه بر این غلظت ۲۰۰ میکرومولار ۶-شگول نیز برای ادامه کار درنظر گرفته شد (شکل ۱).

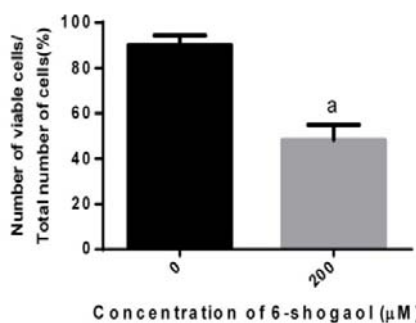
در این آزمایش از *GAPDH* به عنوان ژن خانه گردن استفاده شد. از روش  $2^{-\Delta\Delta Ct}$  برای محاسبه میزان بیان نسبی استفاده شد.

**تجزیه و تحلیل داده ها:** تجزیه و تحلیل داده ها با استفاده از نرم افزار Graph Pad Prism 6، انجام شد. نتایج به دست آمده به صورت میانگین تکرار ها و با شاخص آماری انحراف معیار SEM، گزارش شده اند. گروه ها با کمک آزمون یک طرفه ANOVA و t-test مورد بررسی قرار گرفتند.  $P < 0.05$  به عنوان اختلاف آماری معنادار بین گروه های مورد بررسی در نظر گرفته شد. حروف a تا e در شکل های ۱، ۲ و ۴، بترتیب نشان دهنده ارتباط معنی دار با گروه کنترل و غلظت های ۱۰۰ تا ۲۰۰ میکرومولار ۶-شگول می‌باشند. حرف a در شکل ۳ نشان دهنده ارتباط معنی دار ستون های خاکستری رنگ (رده های سلولی CCRF-CEM یا R-CCRF-CEM) با ستون های مشکی رنگ (رده سلولی Nalm-6) است.



شکل ۱- بررسی اثر سیتوکسیک ۶-شگول بر رده های افزایشی ۶-شگول و یا DMSO (به عنوان حلal ۶-شگول) تیمار شدند و میزان درصد زنده مانی با آزمون MTT بررسی شد. نمودارهای الف تا d بترتیب مربوط به رده های سلولی R-CCRF-CEM, CCRF-CEM و Nalm-6 می باشند. ۶-شگول در غلظت های بالا سبب کاهش زنده مانی رده های سلولی R-CCRF-CEM, CCRF-CEM و Nalm-6 شد. غلظت ۲۰۰ میکرومولار ۶-شگول، بیشترین اثر سیتوکسیک را بر رده سلولی Nalm-6 نشان داد.

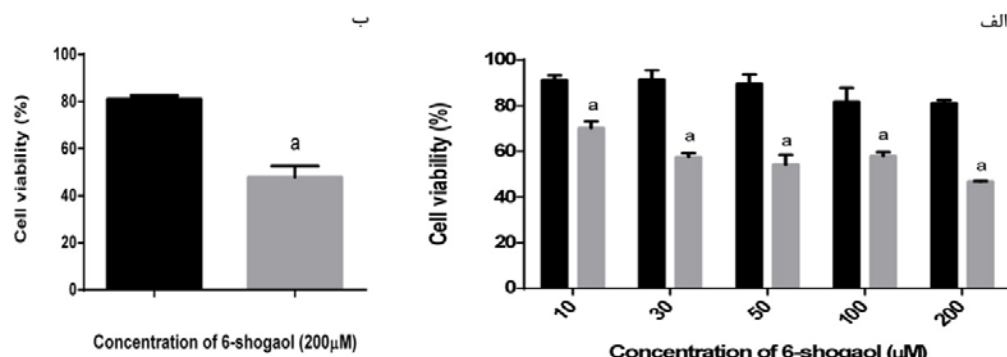
بیشتری بر زنده مانی رده سلولی Nalm-6 نسبت به رده سلولی CCRF-CEM نشان داد (شکل ۳-ب).



شکل ۲- بررسی میزان زنده مانی سلول های Nalm-6 متعاقب تیمار با ۶-شگول با روش رنگ آمیزی با تریپان بلو. غلظت ۲۰۰ میکرومولار ۶-شگول سبب کاهش درصد زنده مانی سلول های Nalm-6 می‌شود.

بمنظور تایید نتایج به دست آمده از آزمون MTT، میزان مرگ سلول های Nalm-6 تیمار شده با غلظت ۲۰۰ میکرومولار ۶-شگول، با تریپان بلو نیز مورد بررسی قرار گرفت. نتایج به دست آمده با این روش نیز نشان داد، ۶-شگول سبب افزایش میزان مرگ سلول های Nalm-6 می‌شود (شکل ۲).

مقایسه اثر سیتو توکسیک ۶-شگول بر زنده مانی رده های سلولی ALL: مقایسه میزان اثر مهاری ۶-شگول در رده های سلولی ALL نشان داد، ۶-شگول اثر سیتو توکسیک بیشتری بر رده سلولی R-CCRF-CEM نسبت به رده سلولی CCRF-CEM داشت (شکل ۳-الف). اضافه بر این، غلظت ۲۰۰ میکرومولار ۶-شگول اثر مهاری



شکل ۳- مقایسه اثر ۶-شگول بر زنده مانی رده های سلولی ALL. الف) مقایسه میزان زنده مانی رده های سلولی CCRF-CEM (ستون مشکی رنگ) و رده سلولی R-CCRF-CEM (ستون خاکستری رنگ) تحت تیمار با غلظت های مختلف ۶-شگول، نشان دهنده اثر سیتو توکسیک قوی تر ۶-شگول بر رده هی مقاوم بود. ب) غلظت ۲۰۰ میکرومولار ۶-شگول، اثر سیتو توکسیک قوی تری بر رده سلولی 6 Nalm-6 (ستون خاکستری رنگ) نسبت به رده های سلولی CCRF-CEM (ستون مشکی رنگ) نشان داد.

گروه کنترل می شود. در حالی که افزایش سطح بیان ژن *Insig1* در گروه تیمار با ۶-شگول نسبت به گروه کنترل معنی دار نبود (شکل ۴).

### بحث

با وجودی که استفاده از داروهای شیمی درمانی اثربخشی بالایی را در درمان سرطان نشان می دهد، این داروها سلول های طبیعی بدن را نیز تحت تاثیر قرار داده و بنابراین سبب

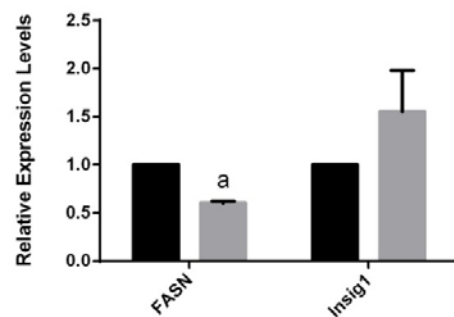
بررسی اثر ۶-شگول بر میزان بیان ژن های *FASN* و *Insig1*: بمنظور تعیین ژن های هدف احتمالی ۶-شگول، سلول های Nalm-6 با غلظت ۲۰۰ میکرومولار ۶-شگول تیمار شدند. سپس RNA کل استخراج و پس از سنتز cDNA از سلول های گروه کنترل و تیمار، میزان بیان ژن *FASN* و *Insig1* با استفاده از روش real-time PCR بررسی شد. نتایج نشان داد ۶-شگول سبب کاهش معنی دار بیان ژن *FASN* در سلول های تحت تیمار نسبت به

که در رده سلولی R-CCRF-CEM می‌تواند سبب مقاومت دارویی شود، افزایش بیان MDR1 می‌باشد. بررسی میزان بیان ژن‌های مرتبط با مقاومت دارویی در سلول‌های بدخیم بیماران مبتلا به ALL، حاکی از افزایش بیان ژن MDR1 در بیماران mrd+ و درنتیجه انتقال رو به خارج دارو از سلول و مقاومت دارویی است (۱۷). از آن جایی که MDR1 یکی از اهداف فاکتور رونویسی NF-κB می‌باشد (۶). و پژوهش‌ها نشان می‌دهد ۶-شگول سبب مهار فعالیت NF-κB می‌شود، بنابراین ۶-شگول می‌تواند اثر مهاری خود را بر زنده مانی سلول‌های R-CCRF-CEM، از طریق این مسیر نیز ایفا کنند. لازم به ذکر است جهت اثبات ادعای ذکر شده، مطالعات بیشتری مورد نیاز است.

اضافه بر این، در این مطالعه نشان داده شد اثر سیتوتوکسیک غلظت ۲۰۰ میکرومولار ۶-شگول بر رده سلولی Nalm-6 از CCRF-CEM بیشتر می‌باشد (شکل ۳-ب). با توجه به این که ژن p53 در رده سلولی CCRF-CEM به صورت جهش یافته می‌باشد (۸)، بنابراین فعالیت مشتق دارویی ۶-شگول از طریق مسیر پیام رسانی p53 در این رده سلولی مهار می‌شود. علاوه بر این، مطالعات نشان می‌دهد، میزان بیان ژن STAT3 به طور معنی داری در بیماران B-ALL نسبت به بیماران T-ALL بیشتر است (۴). از آن جایی که ۶-شگول مهارکننده STAT3 می‌باشد (۲۵)، ممکن است اثر سیتوتوکسیک قوی تر ۶-شگول بر رده سلولی Nalm-6 نسبت به رده سلولی CCRF-CEM به علت فعالیت بیشتر مسیر STAT3 در رده Nalm-6 باشد. جهت اثبات این ادعا نیز مطالعات و تحقیقات بیشتری مورد نیاز است.

در این پژوهش مشخص شد، ۶-شگول سبب کاهش میزان بیان ژن FASN در سلول‌های Nalm-6 می‌شود (شکل ۴). بررسی میزان بیان آنزیم FASN در سلول‌های بدخیم کودکان مبتلا به ALL، نشان می‌دهد، میزان بیان ژن FASN در بیماران ALL مقاوم به داروهای شیمی درمانی نسبت به

بروز عوارض جانبی بسیاری می‌شوند (۲۱).



شکل ۴- مقایسه پروفایل بیانی ژن‌های FASN و Insig1 در سلول‌های تیمار شده با ۶-شگول در مقایسه با گروه کنترل. سلول‌های Nalm-6 با غلظت ۲۰۰ میکرومولار ۶-شگول تیمار شده و پس از استخراج RNA کل و سنتز cDNA، میزان بیان به وسیله real-time PCR بررسی شد.

مطالعات نشان می‌دهد گیاهان دارویی سبب کاهش بقا و القای آپوپتوز در سلول‌های سرطانی معده و کلون می‌شوند (۱ و ۲). زنجیبل به عنوان یکی از گیاهان دارویی که اثر ضد سرطانی آن در انواع مختلفی از سرطان‌ها به اثبات رسیده است، دارای ترکیبات متنوعی می‌باشد. در این مطالعه اثر ۶-شگول بر سلول‌های ALL و تاثیر این مشتق دارویی بر میزان بیان ژن FASN از طریق افزایش بیان ژن Insig1 برای اولین بار، مورد بررسی قرار گرفت.

در پژوهش حاضر بررسی اثر سیتوتوکسیک ۶-شگول بر رده‌های سلولی ALL، نشان داد ۶-شگول در غلظت‌های بالا سبب مهار زنده مانی رده‌های سلولی R-CCRF-CEM، Nalm-6 و RN95 می‌شود (شکل ۱). نتایج حاصل از بررسی میزان مرگ سلولی با روش رنگ آمیزی با تریپان بلو نیز با نتایج حاصل از آزمون MTT همخوانی داشت (شکل ۲). در مطالعات قبلی نیز اثر مهاری ۶-شگول بر زنده مانی رده‌های سلولی سرطان‌های ریه، کلون و پروستات، به اثبات رسیده است (۱۵ و ۲۳).

در این مطالعه مشخص شد اثر سیتوتوکسیک ۶-شگول بر R-CCRF-CEM نسبت به رده سلولی R-CCRF-CEM بیشتر است (شکل ۳-الف). یکی از مکانیسم‌هایی

این مشخص شد این اثر می‌تواند ناشی از کاهش بیان ژن *FASN* باشد. *FASN* یکی از پروتئین‌های دخیل در رشد و تکثیر سلول‌های سرطانی است. علی‌رغم عدم اثبات فرضیه‌ی کاهش بیان ژن *FASN* متعاقب افزایش بیان ژن *insig1* در رده‌ی سلولی Nalm-6 متعاقب تیمار سلولی با ۶-شگول، این پژوهش اولین مطالعه در خصوص اثبات ۶-شگول، به نظر می‌رسد با افزایش فعالیت  $\gamma$ -PPAR، به دنبال اتصال ۶-شگول (۲۴) بیان ژن *Insig1* در سلول سرطانی افزایش یابد (۱۲). *Insig1* با اتصال به SCAP مانع از انتقال SREBP-1c به گلزاری و پردازش SCAP-SREBP-1c می‌شود. بنابراین بیان ژن‌های تحت کنترل این فاکتور رونویسی، از جمله *FASN*، کاهش می‌یابد (۹ و ۱۲). علی‌رغم عدم اثبات رابطه بین بیان ژن *insig1* و *FASN* در این پژوهش، به نظر می‌رسد مطالعات تکمیلی در سطح اپی ژنتیکی و بررسی بیان ژن در سطح پروتئین بتواند در توجیه ارتباط بین این دو ژن و تفسیر مکانیسم اثر ۶-شگول در سرطان خون کمک کننده باشد.

### سپاسگزاری

این مطالعه با استفاده از اعتبارات پژوهشی دانشگاه اصفهان (به شماره ۹۷/۱۴۲۵۵) و مرکز تحقیقات گیاهان دارویی دانشگاه شاهد (به شماره ۱۵/۲۵۱۷) انجام شده است.

سایر بیماران، افزایش می‌یابد. علاوه بر این، عصاره زنجیل سبب کاهش میزان بیان ژن *FASN* در سلول‌های بدخیم بیماران مبتلا به ALL می‌شود. مطالعات داکینگ مولکولی حاکی از گرایش بالای مشتق دارویی ۶-شگول برای اتصال به دومین‌های تیمورتاز و کتوسیتاز *FASN* و مهار فعالیت این آنزیم می‌باشد (۱۰).

به نظر می‌رسد با افزایش فعالیت  $\gamma$ -PPAR، به دنبال اتصال ۶-شگول (۲۴) بیان ژن *Insig1* در سلول سرطانی افزایش یابد (۱۲). *Insig1* با اتصال به SCAP مانع از انتقال SREBP-1c می‌شود. بنابراین بیان ژن‌های تحت کنترل این فاکتور رونویسی، از جمله *FASN*، کاهش می‌یابد (۹ و ۱۲). علی‌رغم عدم اثبات رابطه بین بیان ژن *insig1* و *FASN* در این پژوهش، به نظر می‌رسد مطالعات تکمیلی در سطح اپی ژنتیکی و بررسی بیان ژن در سطح پروتئین بتواند در توجیه ارتباط بین این دو ژن و تفسیر مکانیسم اثر ۶-شگول در سرطان خون کمک کننده باشد.

به طور کلی نتایج این مطالعه نشان داد ۶-شگول دارای اثر سیتو توکسیک بر رده‌های سلولی ALL می‌باشد. علاوه بر

### منابع

- ۱- اربابی، مرجان. حسن پور، حلیمه. عرب زاده، سمیه. مقامی، پروانه. (۱۳۹۹). اثر سینه‌ریک عصاره گیاه هندوانه ابوجهل (*Citrullus colocynthis*) و فیکوسینین بر القای مرگ برنامه ریزی شده در دودمان سلولی سرطان کولون انسانی (۲۹). مجله پژوهش‌های سلولی و مولکولی (مجله زیست‌شناسی ایران)، ۳۳(۲)، ۲۷۸-۲۸۶.
- ۲- میمندی، کتابون. یعقوبی، محمد مهدی. (۱۳۹۴). اثرات عصاره آبی و اتانولی گل محمدی (*Rosa damascena* mill L) بر علیه
- 4- Adamaki M, Tsotra M, Vlahopoulos S, Zampogiannis A, Papavassiliou AG, Moschovi M (2015). STAT transcript levels in childhood acute lymphoblastic leukemia: STAT1 and STAT3 transcript correlations. Leukemia research, 39 (11): 1285-91.
- 5- Babasheikhali SR, Rahgozar S, Mohammadi M (2019). Ginger extract has anti-leukemia and anti-drug resistant effects on malignant cells. Journal of cancer research and clinical oncology, 145(8):1987-98.

- 6- Bentires-Alj M, Barbu V, Fillet M, Chariot A, Relic B, Jacobs N, et al (2003). NF- $\kappa$  B transcription factor induces drug resistance through MDR1 expression in cancer cells. *Oncogene*, 22(1):90-7.
- 7- Butt MS, Sultan MT (2011). Ginger and its health claims: molecular aspects. Critical reviews in food science and nutrition, 51(5):383-93.
- 8- Geley S, Hartmann BL, Hattmannstorfer R, Löffler M, Ausserlechner MJ, Bernhard D, et al (1997). p53-induced apoptosis in the human T-ALL cell line CCRF-CEM. *Oncogene*, 15(20):2429-37.
- 9- Goldstein JL, DeBose-Boyd RA, Brown MS (2006). Protein sensors for membrane sterols. *Cell*, 124(1): 35-46.
- 10- Ghaeidamini MH, Rahgozar S, Rahimi SB, Safavi A, Ghodousi ES (2020). Fatty acid synthase, a novel poor prognostic factor for acute lymphoblastic leukemia which can be targeted by ginger extract. *Scientific reports*, 10(1):1-13.
- 11- Grzanna R, Lindmark L & Frondoza CG (2005). Ginger—an herbal medicinal product with broad anti-inflammatory actions. *Journal of medicinal food*, 8(2): 125-132.
- 12- König B, Koch A, Spielmann J, Hilgenfeld C, Hirche F, Stangl GI, et al (2009). Activation of PPAR $\alpha$  and PPAR $\gamma$  reduces triacylglycerol synthesis in rat hepatoma cells by reduction of nuclear SREBP-1. *European journal of pharmacology*, 605 (1-3): 23-30.
- 13- Krishnan V, Rajasekaran A (2014). Clinical nanomedicine: a solution to the chemotherapy conundrum in pediatric leukemia therapy. *Clinical Pharmacology & Therapeutics*, 95(2):168-78.
- 14- Kumar G, Karthik L, Rao KB (2011). A review on pharmacological and phytochemical properties of Zingiber officinale Roscoe (Zingiberaceae). *Journal of Pharmacy Research*, 4(9):2963-6.
- 15- Liu C-M, Kao C-L, Tseng Y-T, Lo Y-C, Chen C-Y (2017). Ginger phytochemicals inhibit cell growth and modulate drug resistance factors in docetaxel resistant prostate cancer cell. *Molecules*, 22(9):1477.
- 16- Pieters R, Carroll WL (2008). Biology and treatment of acute lymphoblastic leukemia. *Pediatric Clinics of North America*, 55(1):1-20.
- 17- Rahgozar S, Moafi A, Abedi M, Entezar-E-Ghaem M, Moshtaghian J, Ghaedi K, et al (2014). mRNA expression profile of multidrug-resistant genes in acute lymphoblastic leukemia of children, a prognostic value for ABCA3 and ABCA2. *Cancer biology & therapy*, 15(1):35-41.
- 18- Ray A, Vasudevan S, Sengupta S (2015). 6-Shogaol inhibits breast cancer cells and stem cell-like spheroids by modulation of Notch signaling pathway and induction of autophagic cell death. *PloS one*, 10(9):e0137614.
- 19- Rehman R, Akram M, Akhtar N, Jabeen Q, Shah SA, Ahmed K, et al (2011). Zingiber officinale Roscoe (pharmacological activity). *Journal of Medicinal Plants Research*, 5 (3).
- 20- Safarzadeh E, Shotorbani SS, Baradaran B (2014). Herbal medicine as inducers of apoptosis in cancer treatment. *Advanced pharmaceutical bulletin*, 4(Suppl 1):421.
- 21- Sak K (2012). Chemotherapy and dietary phytochemical agents. *Chemotherapy research and practice*, 2012.
- 22- Sanei M, Ghasemnezhad A, Sadeghi Mahounak A, Masoumi M & Ghorbani Kh (2021). Screen of Antioxidant Activity Leads to Recognition of High Valuable Medicinal Plants: A Case Study of Pavéh and Ormanat, West of Iran. *Journal of Genetic Resources*, 7(1): 87-105.
- 23- Sang S, Hong J, Wu H, Liu J, Yang CS, Pan M-H, et al (2009). Increased growth inhibitory effects on human cancer cells and anti-inflammatory potency of shogaols from Zingiber officinale relative to gingerols. *Journal of agricultural and food chemistry*, 57 (22): 10645-50.
- 24- Tan BS, Kang O, Mai CW, Tiong KH, Khoo AS-B, Pichika MR, et al (2013). 6-Shogaol inhibits breast and colon cancer cell proliferation through activation of peroxisomal proliferator activated receptor  $\gamma$  (PPAR $\gamma$ ). *Cancer letters*, 336(1):127-39.
- 25- Weng CJ, Chou CP, Ho CT, Yen GC (2012). Molecular mechanism inhibiting human hepatocarcinoma cell invasion by 6-shogaol and 6-gingerol. *Molecular nutrition & food research*, 56(8):1304-14.
- 26- White B (2007). Ginger: an overview. *American family physician*, 75(11):1689-91.

## Evaluation of the effect of 6-shogaol on the expression of *FASN* and *Insig1* genes in the acute lymphoblastic leukemia cell line Nalm-6

Najafi Dorcheh S. and Rahgozar S.\*

Dept. of Cell and Molecular Biology & Microbiology, Faculty of Biological Science and Technology,  
University of Isfahan, Isfahan, I.R. of Iran

### Abstract

Acute lymphoblastic leukemia (ALL) is the most common cancer among children. Our previous study on the cytotoxic effect of ginger extract (*Zingiber officinale* Rosc.) demonstrated the anti-leukemic effects of ginger extract on ALL cells. 6-Shogaol, the most active derivative of ginger extract, inhibits the growth and proliferation of cancer cells, by affecting the expression of genes involved in the cell cycle and apoptosis. The purpose of this study was to investigate the effect of 6-shogaol on the expression of *FASN* (*Fatty acid synthase*) via *Insig1* (*Insulin induced gene 1*) gene over expression, in acute lymphoblastic leukemia cells, in order to find the molecular pathways related to this drug derivative. CCRF-CEM, R-CCRF-CEM, Nalm-6 and RN95 were treated with increasing concentrations of 6-shogaol. The cell viability was determined using MTT assay and the rate of cell death was assessed by trypan blue staining assay. The mRNA expression levels of *FASN* and *Insig1* genes were evaluated using real-time PCR. Statistical analyses were performed using the GraphPad Prism 6 software. Results presented 6-shogaol significantly decrease R-CCRF-CEM, Nalm-6 and RN95 cells viability. This inhibitory effect was greater in R-CCRF-CEM and Nalm-6 than in CCRF-CEM. Moreover, 6-shogaol reduces *FASN* expression significantly, but it did not show a significant effect on the expression of *Insig1*, so this drug derivative may induce its anti-cancer effect by affecting other molecular pathways.

**Keywords:** acute lymphoblastic leukemia, ginger extract (*Zingiber officinale* Rosc.), 6-shogaol, *FASN* gene, *Insig1* gene